



LS-9100F.- Detalle del aspecto del granitoide diatexítico (11). Nótese la marcada fábrica planar de origen magmato-deformativo que presenta un suave buzamiento al Norte (PIG-5).



LS-9101F.- Detalle del contacto neto e intrusivo entre el granito-monzogranito, tipo El Barraco (13), y la granodiorita-monzogranito biotítico porfídico, con megacristales abundantes (12a).



LS-9102F.- Detalle de milonita silicificada en la granodiorita-monzogranito biotítico porfírico, con megacristales abundantes (12a). La silicificación está asociada a venas de cuarzo decimétricas (esquina inf. izq. y parte superior de la foto), tardías con respecto a la deformación dúctil (PIG-3).



LS-9103F.- Deformación frágil asociada a una pequeña fractura que afecta a la granodiorita-monzogranito biotítico porfidico, con megacristales abundantes (12a).



LS-9104F.- Fábrica planar de flujo ígneo definida por la disposición de enclaves microgranulares en la granodiorita-monzogranito biotítico porfídico, con megacristales abundantes (12a).



LS-9105F.- "Pasillo" de enclaves microgranudos de tendencia intermedia-básica en la granodiorita-monzogranito biotítico porfidico, con megacristales abundantes (12a).



LS-9106F.- Fábrica plano-lineal de flujo ígneo en la la granodiorita-monzogranito biotítico porfídico, con megacristales abundantes (12a).



LS-9107F.- Detalle de la textura del litotipo del granito microporfídico de dos micas tipo Venero Claro-Casillas (15). Nótese como los cristales, que no muestran a escala de afloramiento una orientación preferente, se hallan "autosoportados" en la mesostasis.



LS-9108F.- Granito microporfídico de dos micas tipo Venero Claro-Casillas (15): Autosegregaciones pegmatíticas en la variedad de tendencia equigranular situada en el borde del stock de Venero Claro.



LS-9109F.- Contacto neto, intrusivo y subvertical entre la variedad equigranular del granito microporfídico de dos micas tipo Venero Claro-Casillas (15), y la grano-diorita-monzogranito biotítico porfidíco, con megacristales abundantes (12a).



LR-9600F.- Afloramiento de la diatrema (6) de la Sierra de Las Parameras. Las crestas corresponden a un dique de pórfido granítico ("El Cuchillo") (1)(PIG-1).



LR-9601F.- Detalle de dique de pórfido granítico (1) en la Sierra de Las Parameras (PIG-2).



LR-9602F.- Detalle de pequeño dique de aplita (2) encajado en la granodiorita-monzogranito porfídico biotítico con megacristales abundantes (12a), afectado por una fractura frágil. Nótese la deformación con formación de seudotaquilitas milimétricas a la izquierda del dique aplítico (debajo de la referencia de escala).



LR-9603F.- Estructuras fluidales y schlierens incipientes en enclaves migmatizados en la Sierra del Valle. Nótese los pequeños enclaves redondeados restíticos rodeados por leucosomas.



LR-9604F.- Afloramiento de leucogranito inhomogéneo (11) con marcada fábrica planar de origen magmato-deformativo, concordante con la fábrica del granitoide diatectico (9) (en la parte superior de la foto) (PIG-5).



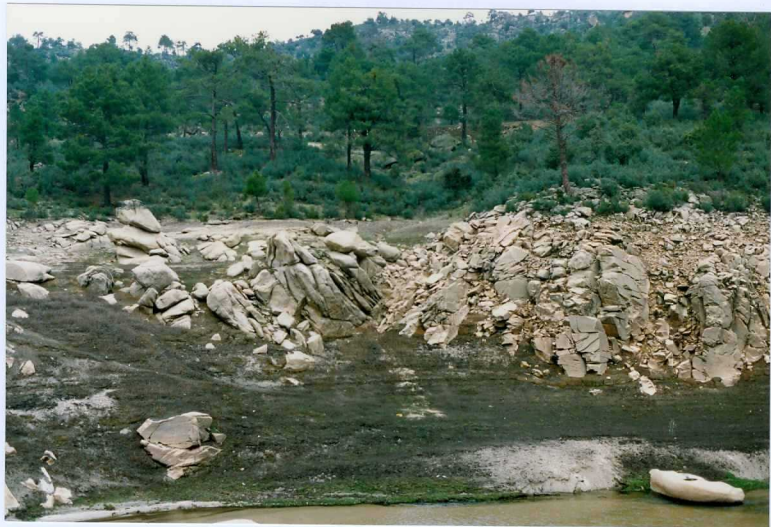
LR-9605F.- Deformación dúctil con formación de sigmoides miloníticos separados por venillas milimétricas de seudotaquilitas (PIG-3).



LR-9606F.- Contacto subhorizontal entre el leucogranito aplítico tabular (20) y la grano-diorita-monzogranito biotítico porfídico, con megacristales abundantes (12a).



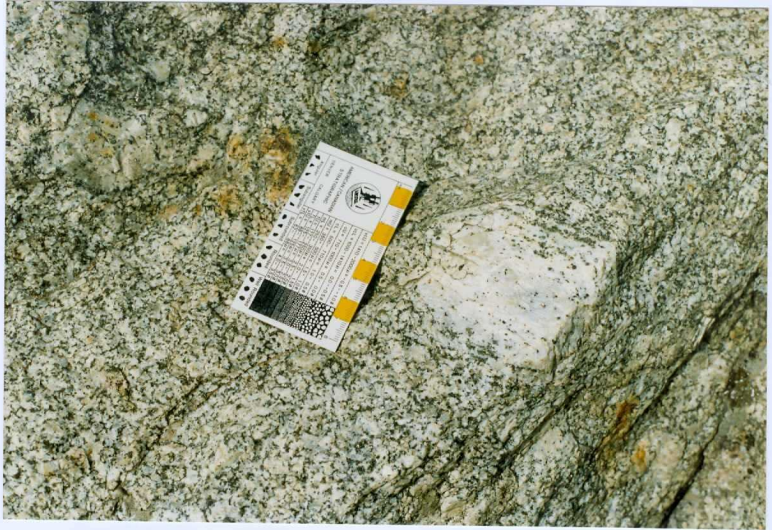
LR-9607F.- Contacto neto, intrusivo y subhorizontal entre el granito microporfírico de dos micas tipo Venero Claro-Casillas (15) y la granodiorita-monzogranito biotítico porfírico, con megacristales abundantes (12a). Nótese el carácter subaplítico de la unidad 15 en la proximidad del contacto.



LR-9608F.- Contacto intrusivo entre el granito microporfídico de dos micas tipo Venero Claro-Casillas (15) y el leucogranito moscovítico, tipo Venero Claro-Casillas (15). Nótese la diferente morfología de afloramientos (mayor diaclasado en leucogranito) (PIG-6).



LR-9609F.- Panorámica del valle estructural de la Falla del Herradón-Casillas (panorámica desde el Puerto de Casillas, PIG-4).



LR-9610F.- Detalle de megacristal en la granodiorita-monzogranito biotítico porfídico, con megacristales abundantes (12a).